

## بررسی میزان اهمیت یونهای محلول در آب در خوردگی قسمتهای بتنی بوجهای خنک کننده با استفاده از تئوری سطح پاسخ

مجتبی واشقانی فراهانی<sup>۱</sup>، سیدعبدالله کشاورز<sup>۲</sup>

۱- دانشجوی دکتری خط و سازه های ریلی، دانشکده مهندسی راه آهن دانشگاه علم و صنعت ایران

۲- کارشناسی مهندسی عمران، مسئول پایش سلامت سازه های بتنی در شرکت فولاد خوزستان

m\_vasheghani@rail.iust.ac.ir

### چکیده

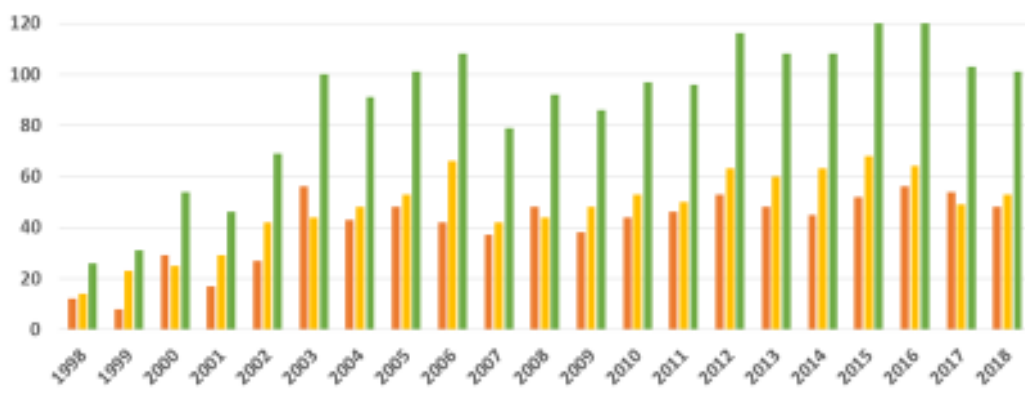
هر ساله بسیاری از سازه های بتنی به دلیل خوردگی ناشی از یونهای مهاجم دچار آسیب می شوند که این موضوع در سازه های موجود در صنایع مادر نمود بیشتری دارد. اهمیت محصولات و کاربری این صنایع، مسئله حفظ و نگهداری این سازه ها را چند برابر کرده است. در محیط های خورنده که ترکیبی از انواع یونهای مزاحم در تشید آسیب تاثیر دارند، تعیین تاثیر هر یون در میزان آسیب و تعیین الگوی پیشگیری از آسیب، بسیار پر اهمیت و ضروری است. در پاسخ به این ضرورت، در این پژوهش میزان تاثیر ۱۲ یون مهاجم محلول در آب مورد مصرف در خنک کردن سازه بتنی برج خنک کننده مجتمع صنایع فولاد اهواز استفاده می شد، اندازه گیری گردید. اندازه گیری های در بازه های زمانی متعددی صورت گرفت و حجم خرابی نظری آنها نیز ثبت شد. نتایج اندازه گیری شده به عنوان یک نمونه آزمایشگاهی تلقی گردید. با استفاده از تئوری سطح پاسخ درصد اهمیت یونهای مشارکت کننده در توسعه خرابی تعیین گردید. نتایج این تحقیق نشان داد که یون کلراید و سولفور مهمترین یونهای تاثیرگذار در پیشرفت خرابی های یک سازه بتنی بودند و یونهای بیکربنات و نیتریت کمترین مشارکت را در توسعه خرابی های ایجاد شده در سازه بتنی را داشتند.

کلمات کلیدی: خوردگی بتن، آمالیز سطح پاسخ، یون کلراید و یون سولفور

### -۱ مقدمه

وجود خوردگی در سازه های بتنی یکی از نگرانی های عمدۀ در صنعت ساختمان است، بطوریکه این موضوع برای ساختمانها و تجهیزات واقع در صنایع مادر و حیاتی کشور که تولیدات استراتژیک دارند بسیار پراهمیت است. از جمله این صنایع، شرکتهای بزرگ تولید کننده فولاد می باشند که بدليل استفاده از منابع آبی محدود مجبور به استفاده از آب به صورت تجدید شده هستند. آب بازیافتی مرتبا در تماس با سازه بتنی است و سازه در معرض تر و خشک شدن با آب آغشته به انواع یونها می باشد. رسوخ یونها در قسمتهای بتنی سبب خوردگی بتن، کاهش مقاومت، خوردگی میلگرد و نهایتا از بین رفتن ظرفیت

باربری المان بنتنی خواهد شد. پایش، اندازه‌گیری و استفاده از روش‌های کاهش خوردگی بالاخص در کارخانجات و صنایع بنتنی مورد توجه بسیاری از پژوهشگران بوده است. شکل ۱ آمار تحقیقات مستند در پایگاه‌های علمی معتبر در دنیا در دو دهه اخیر در زمینه خوردگی بتن و میلگرد را نشان می‌دهد.



شکل ۱ - تحقیقات صورت گرفته در زمینه اثرات یونها در خوردگی بتن از سال ۲۰۰۰ به بعد [1]

بررسی خوردگی در برجهای خنک‌کننده اولین بار در یک گزارش فنی در کشور انگلستان صورت گرفت. در آن مطالعه، فاکتورهای زوال بتن به پارامترهای شیمیایی، فیزیکی و بیولوژیکی طبقه‌بندی شدند<sup>[2]</sup> [مصفی‌پور و همکاران اثر یونهای سدیم سولفات بر روی حوضچه‌های بتنی آب و کانالها را مورد بررسی قرار دادند و نشان دادند که مقاومت فشاری بتن اگر تماس یونها به صورت کوتاه مدت باشد تغییری نکرده و اگر تماس درازمدت باشد، تا ۲/۵ مگا پاسکال کاهش خواهد داشت<sup>[3]</sup>. پارک و همکاران، سرعت انتشار زوال بتن بر اثر انتشار یون کلراید در مخلوطهای بتنی را مورد بررسی قرار دادند و نشان دادند که نسبت آب به سیمان و افزودنی‌های معدنی اضافه شده به بتن، مهمترین فاکتورها در توسعه خرابی‌های بتن هستند.<sup>[4]</sup> در تحقیقات ماریوتو<sup>۱</sup> و همکاران اثرات استفاده از کلسیم تا ۲۵٪ از وزن سیمان، سبب کاهش نفوذ یون کلراید به داخل بتن می‌گردد بطوریکه با افزایش مقاومت مشخصه بتن مقدار این نفوذ کاهش می‌یابد و خوردگی بتن کم می‌شود.<sup>[5]</sup>.

در این پژوهش برای پایش اثرات وجود یونهای مختلف در میزان خوردگی سازه‌های بتنی و زوال میلگردهای موجود، سازه برج خنک کننده شرکت فولاد خوزستان به عنوان سازه هدف مورد بررسی قرار گرفت. این سازه به ظرفیت ۳۳ متر مکعب برای خنک کردن کوره‌های ذوب آهن توسط آب مورد استفاده قرار می‌گیرد. فرایندهای استفاده مجدد از آب سبب آغشته شدن آب به انواع یونها و تسريع خوردگی می‌گردد. این تحقیق در پی شناسایی میزان اهمیت یونهای مختلف در فرایند خوردگی بتن و زوال آرماتورها بر اساس آنالیز سطح پاسخ است. بدین منظور با برداشت میزان خوردگی در سه بازه زمانی مختلف، میزان خوردگی اندازه‌گیری شده و بر اساس آنالیز سطح پاسخ میزان تاثیر یونهای مختلف در فرآیند خوردگی شناسایی شد. بر اساس درصد اهمیت یونها، استراتژی استفاده از روش مناسب برای جلوگیری از فرآیند خوردگی ارائه گردید.

۲- روشنگری انجام تحقیق

برای بررسی اثرات یونهای مختلف در گسترش خوردگی سازه بتنی برج خنک کننده، قسمتهایی از این سازه که در معرض تر و خشک شدن مداوم با آب آشته به انواع یونها است، باید شناسایی گردید. قسمتهای خورده شده کد گذاری شده و با ابزار مناسبی ابعاد هندسی خوردگی ها تعیین گردید و بر اساس آن حجم معادل خوردگی محاسبه شد. در محلهای مورد نظر، میزان یونهای محلول در آب اندازه گیری گردیدند. فرایند اندازه گیری ابعاد خرابی و میزان یونها، در بازه های زمانی متعددی دیگری تکرار شد و میزان خرابی و یونها پایش گردند. هر یک از برداشت های ثبت شده در زمان و مکان مشخص اندازه گیری شده به عنوان یک کمیت آزمایشگاهی، برای مطالعات بعدی در نظر گرفته شد.

برای بررسی اثر یونها در میزان خوردگی بتن از روش تحلیل سطح پاسخ استفاده شد. در این روش، متغیر هدف میزان خرابی و متغیرهای وابسته میزان یونهای محلول در آب،  $\text{pH}$  آب و زمان است. این روش بر مبنای کمینه کردن میزان خطا بر اساس آزمایش‌های ورویدی است، هنگامیکه کمترین مقدار خطا نیز نوع اول پارامتر وابسته کمتر از  $5\%$  درصد باشد متغیر مفروض، به عنوان پارامتر تاثیرگذار شناسایی شده و میزان تاثیرگذاری متغیر مورد نظر بر اساس تحلیل واریانس تک عامله محاسبه می‌گردد. فلوچارت پژوهش در شکل ۲ نشان داده شده است.



## شكل ٢ - روش انجام تحقیق

۳ - آزمایشگاهی

برای بررسی میزان یونهای محلول در آب در این تحقیق بر اساس ادبیات موضوع پارامترهای دما، زمان و PH آب مورد استفاده برای خنک کردن سازه بتنی در نظر گرفته شدند. در مورد یونهای محلول در آب یونهای منیزیم(MA)، کلسیم(T.H.)، سدیم(A.C)، کلراید(CL)، فسفات(P)، نیترات(NO<sub>3</sub>) و سولفات(SO<sub>4</sub><sup>2-</sup>) در آب مورد بررسی قرار گرفت.

۱-۳ - موقعیت آزمایشها

برای انجام آزمایشها، قسمتهایی بتنی از سازه برج خنک کننده واقع در کارخانه فولاد اهواز صورت گرفت. شرکت فولاد خوزستان دو مین تولیدکننده فولاد خام در ایران است. که با وسعت  $8/3$  کیلومتر مربع، در مجاورت شهر اهواز واقع شده است. این کارخانه دارای برج خنک کننده‌ای به ظرفیت  $33$  متر مکعب است. قسمتهای بتنی این برج توسط آب بازیافتی همواره در معرض تر و خشک شدن با آبی که آغشته به انواع یونها است، می‌باشد. در شکل  $3$  نمایی از کارخانه و برج خنک کننده آن نشان داده شده است.



ب- نمایی از کارخانه فولاد اهواز



الف- موقعیت قرار گیری

شکل ۳ - موقعیت کارخانه و برج خنک کننده آن

آب بازیافتی مورد استفاده به دلیل مجاورت با تاسیسات مختلف همواره در معرض یونهای متعدد است و سازه‌های بتُنی که در مجاورت این آب هستند و با این آب خنک می‌شوند، همواره در معرض خوردگی و زوال هستند. در شکل ۴ نمایی از خوردگی‌هایی حادث شده در قسمتهای مختلف این مجتمع نشان داده شده است.



شکل ۴ - نمونه های از خوردگی های بتن



با توجه به الگوی های خرابی‌های مشاهده شده، ۱۷ نقطه آزمایشی برای اندازه‌گیری ابعاد خرابی و میزان یونهای موجود در آب، در نظر گرفته شد. در جدول ۱ موقعیت نقاط مورد نظر و کد مورد استفاده برای آنها بیان شده است.

جدول ۱ - معرفی ایستگاه های اندازه‌گیری خرابی

موقعیت	نام	موقعیت	نام	موقعیت	نام
ستون	C <sup>۱</sup>	تیر	B <sup>۱</sup>	دال	S <sup>۱</sup>
ستون	C <sup>۲</sup>	تیر	B <sup>۲</sup>	دال	S <sup>۲</sup>
ستون	C <sup>۳</sup>	تیر	B <sup>۳</sup>	دال	S <sup>۳</sup>
ستون	C <sup>۴</sup>	تیر	B <sup>۴</sup>	دال	S <sup>۴</sup>
ستون	C <sup>۵</sup>	تیر	B <sup>۵</sup>	دال	S <sup>۵</sup>
ستون	C <sup>۶</sup>	تیر	B <sup>۶</sup>		

### ۲-۳- روش انجام آزمایشها

برای بررسی میزان خوردگی در موقعیتهای ذکر شده لازم است در گام اول مشخصات هندسی موقعیتهای مشخص شده که در معرض خوردگی هستند اندازه‌گیری گردد. بدین منظور از ابزارهای مناسبی همانند کولیس مهندسی و متر استفاده شد. در شکل ۵ نمایی از اندازه‌گیری ابعاد هندسی ترک برای محاسبه حجم خوردگی نشان داده شده است.



شکل ۵ - اندازه‌گیری ابعاد هندسی ناحیه خورد شده

برای اندازه‌گیری دما آب و هوا در هنگام اندازه‌گیری از دماسنچ دیجیتال استفاده گردید و غلظت تمامی یونهای محلول در آب بر اساس استاندارد ASTMD انجام شد [6].

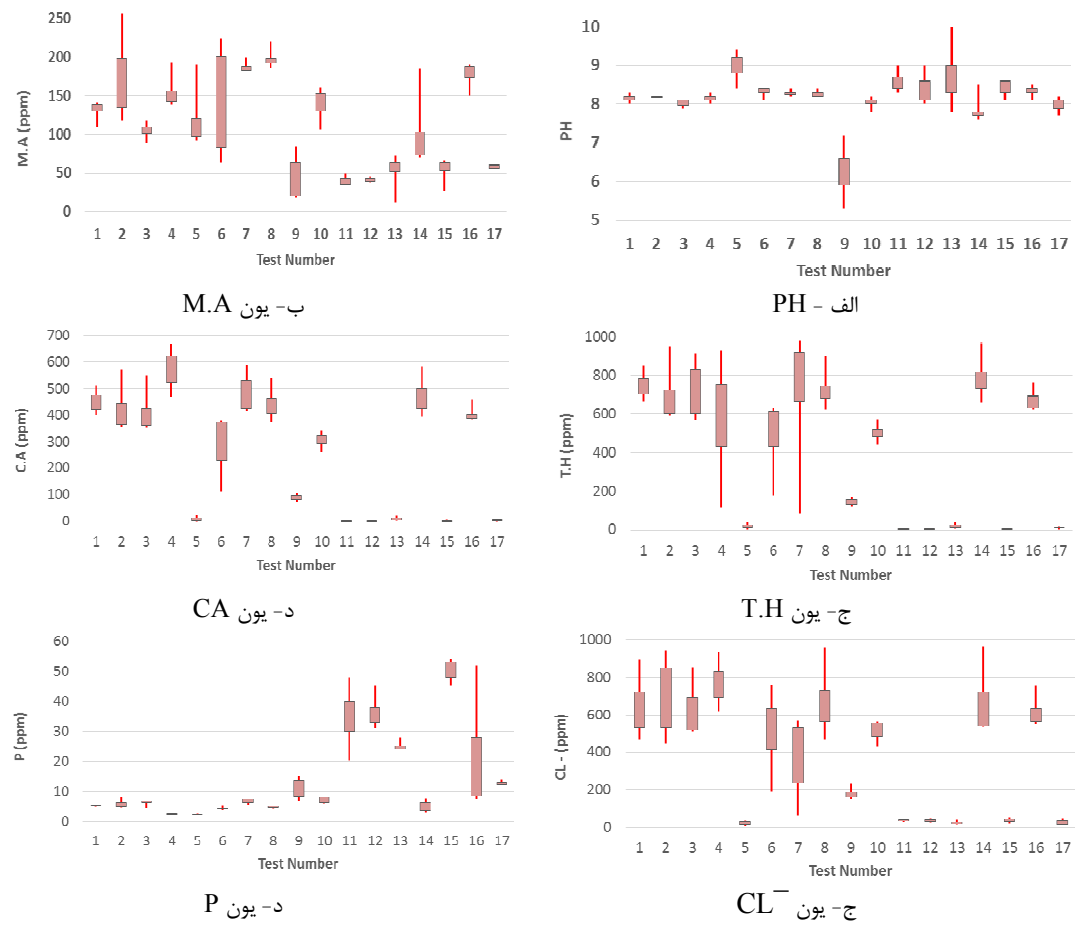
### ۳- یافته‌های آزمایشها

با توجه به آزمایش‌های صورت گرفته نتایج ابعاد هندسی ترکها، حجم نظری ترک و میزان یونهای محلول در آب در هنگام ترک در موقعیتهای ذکر شده در جدول ۳ آمده است. برداشت‌ها در سه موقعیت زمانی متفاوت ۱۲۰ روزه برداشت شده‌اند.

جدول ۳ - نتایج اندازه گیری pH و غلظت یونهای محلول در آب در موقعیتهای آزمایش (غلظت یونها بر حسب گرم در لیتر آب مصرفی بتن)

SO <sub>4</sub>			NO <sub>2</sub>			P			CL <sup>-</sup>			CA			TH			MA			PH			شماره موقعیت
۲۴۰ روز	۱۲۰ روز	شروع	۲۴۰ روز	۱۲۰ روز	شروع	۲۴۰ روز	۱۲۰ روز	شروع	۲۴۰ روز	۱۲۰ روز	شروع	۲۴۰ روز	۱۲۰ روز	شروع	۲۴۰ روز	۱۲۰ روز	شروع	۲۴۰ روز	۱۲۰ روز	شروع	۲۴۰ روز	۱۲۰ روز	شروع	
۴۵	۲۳	۱۲	۱۰۳	۱۲۹	۲۳۶	۴/۸	۵/۴	۵/۱	۸۹۶	۴۶۵	۶۱۸	۵۱۰	۳۹۹	۴۷۶	۸۵۰	۶۶۵	۷۶۸	۱۱۰	۱۴۱	۱۳۸	۸/۱	۸/۳	۸/۱	۱
۲۰۳	۱۵۳	۱۰	۴۲	۵۳	۸۹	۴/۶	۵/۲	۸	۹۴۴	۴۴۶	۶۲۳	۵۷۰	۳۵۴	۳۷۲	۹۵۰	۵۹۰	۶۰۰	۱۱۸	۱۳۵	۲۵۷	۸/۲	۸/۲	۸/۲	۲
۴۲۳	۱۸۰	۱۴۶	۲۳۶	۱۰۹	۱۶۳	۶/۵	۶/۸	۴/۵	۸۰۵	۵۱۰	۵۲۲	۵۴۹	۳۸۵	۳۵۲	۹۱۵	۶۴۳	۵۶۸	۱۰۷	۱۱۸	۸۹	۸/۱	۸/۱	۹/۷	۳
۴۰۳	۳۶۵	۲۳۶	۲۳۰	۱۲۰	۵۳	۲/۲	۲/۵	۲/۵	۹۳۵	۷۷۰	۶۱۸	۵۵۸	۶۶۷	۴۶۸	۹۳۰	۱۱۳	۷۵۵	۱۹۳	۱۳۸	۱۵۴	۸/۲	۸	۸/۳	۴
۴۰۲	۶۳	۱۰۸	۲۱۴	۲۳۵	۴۲۱	۲/۳	۲/۳	۲/۳	۸	۳۸	۱۵	۲۴	۴/۸	۲	۴۰	۸	۳	۹۹	۹۳	۱۹۰	۹/۴	۸/۴	۹/۲	۵
۴۱۰	۳۹۰	۳۶۲	۵۰	۵۶	۴۲	۴/۵	۳/۸	۵/۳	۱۹۰	۵۲۴	۷۵۹	۱۱۰	۳۷۸	۳۷۰	۱۷۵	۶۳۰	۵۹۷	۶۳	۱۷۸	۲۲۴	۸/۱	۸/۴	۸/۳	۶
۳۶۹	۲۴۳	۲۳۶	۱۰۳	۸۳	۱۷	۷/۳	۷/۳	۵/۴	۶۰	۵۱۸	۵۷۰	۵۸۸	۴۶۲	۴۱۴	۹۸۰	۶۷۰	۶۶۷	۱۹۹	۱۸۱	۱۸۳	۸/۴	۸/۲	۸/۳	۷
۵۶	۱۸	۱۲	۹۷	۱۴۵	۱۸۹	۴/۲	۴/۸	۵/۱	۹۶۰	۴۶۵	۶۸۶	۵۴۰	۳۷۴	۴۶۱	۹۰۰	۶۲۴	۷۴۴	۱۹۵	۱۸۶	۲۲۰	۸/۴	۸/۲	۸/۳	۸
۹۰	۱۲۰	۳۰۲	۴۲	۳۶	۱۸	۱۵	۱۳/۷	۶/۶	۲۳۰	۱۵۰	۱۷۹	۹۶	۷۲	۱۰۵	۱۵۴	۱۲۰	۱۶۹	۱۸	۲۱	۸۴	۵/۳	۶/۱	۷/۲	۹
۳۰۳	۲۳۶	۴۳۲	۴۳	۲۵	۶۳	۵/۹	۷/۶	۸/۲	۵۵۵	۴۳۰	۵۶۳	۳۴۲	۲۶۲	۳۲۲	۵۷۰	۴۴۰	۵۲۰	۱۰۶	۱۴۸	۱۶۰	۷/۸	۸/۲	۸/۱	۱۰
۴۳۲	۶۳	۱۲۵	۱۸	۳۶	۴۵	۴۸	۲۰/۲	۳۹/۸	۴۴	۳۸	۲۸	۳	۳	۳	۵	۵	۵	۵	۳۸	۲۴	۸/۷	۸/۳	۹	۱۱
۱۲۳	۴۳۰	۲۲	۴۳	۸۳	۹۳	۴۵	۳۰/۹	۳۵	۳۲	۴۸	۲۴	۳/۶	۳	۳	۶	۵	۵	۳۸	۴۰	۴۵	۸	۸/۱	۹	۱۲
۲۵۶	۱۷۶	۶۳	۳۴۶	۶۶۱	۳۴	۲۴/۱	۲۴/۱	۲۴/۱	۱۵	۴۰	۱۷	۲۲	۹/۶	۳	۳۸	۱۶	۵	۵۱	۷۲	۱۲	۹	۱۰	۷/۸	۱۳
۳۲۰	۴۲۰	۲۳۰	۳۶۰	۱۳۶	۳۲	۲/۹	۵	۷/۵	۹۶۲	۵۴۲	۵۳۳	۵۸۲	۳۹۴	۴۹۹	۹۷۰	۶۵۸	۸۰۵	۷۰	۷۵	۱۸۵	۷/۷	۷/۷	۸/۵	۱۴
۱۲۳	۵۳۶	۱۹۰	۴۲۳	۱۷۳	۸۹	۴۵	۵۲	۵۳	۳۰	۵۲	۲۰	۳	۳	۴	۵	۵	۶	۲۷	۶۶	۶۰	۸/۱	۸/۵	۸/۶	۱۵
۷۳۰	۶۳۲	۲۳۶	۷۶	۸۳	۱۲	۵۲	۷/۳	۹/۶	۷۵۶	۵۴۸	۵۹۹	۴۵۹	۳۸۴	۳۸۶	۷۶۵	۶۴۰	۶۲۳	۱۵۰	۱۸۲	۱۹۰	۸/۴	۸/۱	۸/۵	۱۶
۳۵۶	۴۲۳	۹۶	۱۷۹	۱۲۹	۶۸	۱۲/۳	۱۲/۳	۱۲/۳	۱۵	۴۸	۱۵	۹/۶	۵/۴	۲	۱۶	۹	۲	۶۱	۵۶	۵۶	۸/۲	۸/۱	۷/۷	۱۷

در شکل ۵ نمودار تغییرات پارامترهای مفروض در ۱۷ نقطه معرفی شده برای آزمایش، در بازه زمانی ۲۴۰ روزه مورد بررسی، نشان داده شده است.



شکل ۵ - تغییرات پارامترهای مفروض در ۱۷ موقعیت مورد بررسی

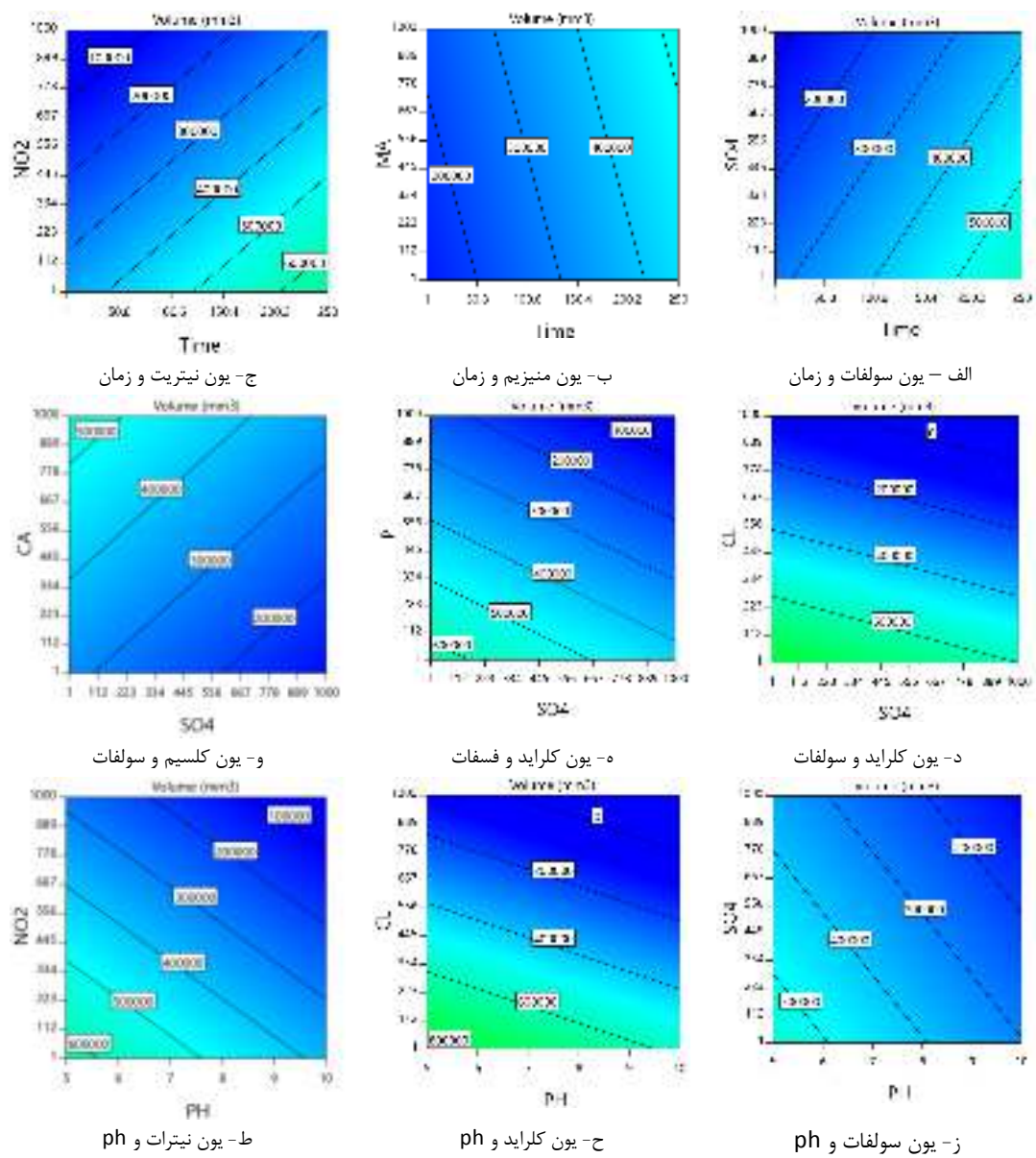
بر اساس اندازه‌گیریهای میدانی از میزان طول، عرض، ضخامت و حجم تقریبی قسمت خورده شده در طی زمانهای اندازه-گیری شده، محاسبه شده و در جدول ۴ آمده است.

جدول ۴ - ابعاد هندسی ترکها و حجم خوردگی [طول، عرض، عمق (حجم)] (ابعاد به میلیمتر)

شماره موقعیت	شروع	روز ۱۲۰	روز ۲۴۰
۱	[۸۹۶۴۰۰ ۴۵، ۱۲۰، ۱۶۶]	[۹۹۶۰۰۰ ۵۰، ۱۲۰، ۱۶۶]	[۱۰۹۵۶۰۰ ۵۵، ۱۲۰، ۱۶۶]
۲	[۴۸۶۰۰۰ ۴۵، ۱۲۰، ۹۰]	[۵۴۰۰۰۰ ۴۵، ۱۲۰، ۱۰۰]	[۵۵۰۸۰۰ ۴۵، ۱۲۰، ۱۰۲]
۳	[۱۲۰۳۶۵ ۴۵، ۲۳، ۱۶۶]	[۹۱۸۰۰۰ ۴۵، ۱۲۰، ۱۷۰]	[۱۰۴۰۶۰۰ ۵۰، ۱۲۱، ۱۷۲]
۴	[۱۰۲۳۶۸ ۴۵، ۱۲۰، ۱۵۳]	[۴۲۵۰۱۲ ۱۷، ۵۶، ۱۶۶]	[۵۲۹۲۰۰ ۴۵، ۱۲۰، ۹۸]
۵	[۱۳۰۶۸۰ ۴۵، ۴۴، ۶۶]	[۵۴۲۳۶۵ ۴۵، ۱۲۰، ۶۹]	[۸۹۶۴۰۰ ۴۵، ۱۲۰، ۱۶۶]
۶	[۱۲۱۵۰۰ ۴۵، ۹۰، ۳۰]	[۱۴۱۷۵۰ ۴۵، ۹۰، ۳۵]	[۳۷۸۰۰۰ ۴۵، ۱۲۰، ۷۰]
۷	[۱۲۰۰۳۲ ۴۵، ۱۲۰، ۱۶۶]	[۱۲۵۲۳۶ ۱۵، ۴۵، ۱۵۰]	[۱۶۴۰۲۵۰ ۴۵، ۱۵۰، ۲۴۳]
۸	[۱۰۲۳۴۱ ۴۵، ۱۲۰، ۱۲۳]	[۸۹۶۴۰۰ ۴۵، ۱۲۰، ۱۶۶]	[۹۸۸۲۰۰ ۴۵، ۱۲۰، ۱۸۳]
۹	[۸۹۶۴۰۰ ۴۵، ۱۲۰، ۱۴۲]	[۹۱۸۰۰۰ ۴۵، ۱۲۰، ۱۷۰]	[۹۴۵۰۰۰ ۴۵، ۱۲۰، ۱۷۵]
۱۰	[۸۹۶۴۰۰ ۴۵، ۱۲۰، ۱۱۰]	[۸۹۶۴۰۰ ۴۵، ۱۲۰، ۱۲۵]	[۸۹۶۴۰۰ ۴۵، ۱۲۰، ۱۶۶]
۱۱	[۸۹۶۴۰۰ ۴۵، ۱۲۰، ۱۶۶]	[۲۳۶۵۹۸ ۴۵، ۱۲۰، ۱۶۶]	[۸۹۶۴۰۰ ۴۵، ۱۲۰، ۱۶۶]
۱۲	[۸۹۶۴۰۰ ۴۵، ۱۲۰، ۹۷]	[۸۹۶۴۰۰ ۴۵، ۱۲۰، ۱۶۶]	[۸۹۶۴۰۰ ۴۵، ۱۲۰، ۱۶۶]
۱۳	[۸۹۶۴۰۰ ۴۵، ۱۲۰، ۱۶۶]	[۸۹۶۴۰۰ ۴۵، ۱۲۰، ۱۶۶]	[۸۹۶۴۰۰ ۴۵، ۱۲۰، ۱۶۶]
۱۴	[۵۶۳۲۰۲ ۴۵، ۱۲۰، ۱۶۶]	[۸۹۶۴۰۰ ۴۵، ۸۵، ۱۶۶]	[۸۹۶۴۰۰ ۴۵، ۱۲۰، ۱۰۸]
۱۵	[۳۳۶۰۰۰ ۳۵، ۱۲۰، ۸۰]	[۴۶۲۰۰۰ ۳۵، ۱۲۰، ۱۱۰]	[۵۷۶۰۰۰ ۴۰، ۱۲۰، ۱۲۰]
۱۶	[۱۴۳۰۰۰ ۲۰، ۱۳۰، ۵۵]	[۳۰۶۰۰۰ ۳۰، ۱۲۰، ۸۵]	[۶۶۴۲۰۰ ۴۵، ۱۲۰، ۱۲۳]
۱۷	[۳۲۴۰۰۰ ۴۵، ۸۰، ۹۰]	[۵۹۴۰۰۰ ۴۵، ۱۲۰، ۱۱۰]	[۷۵۶۰۰۰ ۴۵، ۱۲۰، ۱۴۰]

#### ۴- تحلیل سطح پاسخ

با توجه به اندازه گیری های صورت گرفته، هر یک از مقادیر اندازه گیری حجم ترگ به عنوان کمیت هدف بر حسب مقادیر یونهای اندازه گیری شده به عنوان متغیرهای آزمایش به عنوان یک نمونه آزمایشی در تحلیل سطح پاسخ تلقی می گردد. بنابر اطلاعات جمع آوری شده متغیرهای وابسته ۸ پارامتر مربوط به یونها و آب و یک پارامتر زمان هستند و یک متغیر هدف که حج خوردگی است در این پژوهش مورد بررسی قرار گرفت مه در مجموع ۹۰ آزمایش مقایسه ای دودویی به منشور بررسی اثر پارامترهای بر روی پارامتر هدف صورت گرفت که نتایج بعضی از آنها در گرافهای شکل ۶ نشان داده شده است.

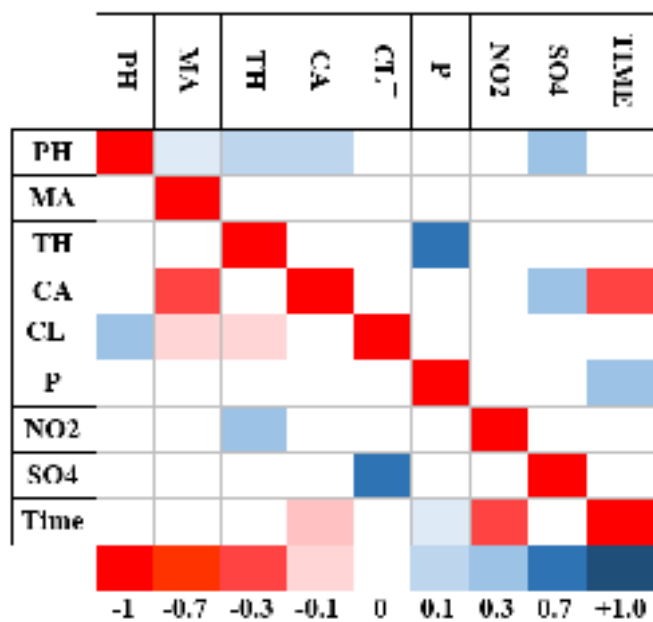


شکل ۶- مقایسه دو-دویی بعضی از متغیرها نسبت به زمان

همانطور که در شکل ۶ نشان داده شده است در مقایسه دو-دویی دو متغیر مفروض در نظر گرفته شده و سایر متغیرها مقدار ثابت مدل مرجع را داشتند. برای مثال در شکل ۶-الف با استفاده از نتایج یون سولفات با سایر متغیرها ترسیم شده است. در بررسی ارتباط این دو متغیر می توان گفت که با افزایش هر دو متغیر به صورت همزمان میزان خوردگی بیشتر می گردد و بالعکس.

از آنجاییکه که تبیین این ارتباط برای ۹۰ حالت بیان شده بسیار مفصل می باشد بنابراین برای بررسی دو-دویی متغیر از ضریب همبستگی استفاده شده که در نتایج آن در شکل ۷ نشان داده شده است. ضریب همبستگی مثبت بیان کننده آن است که در میزان خوردگی افزایش یک پارامتر با افزایش پارامتر دیگر همراه است و ضریب همبستگی منفی عکس این نتیجه است

و هر چه این ضریب به صفر نزدیک تر باشد نشان دهنده استقلال دو پارامتر در میزان خوردگی است و نزدیکی به مثبت یک است هم راستا بودن و منفی یک خلاف هم بودن پارامترها در خوردگی بتن را نشان میدهد



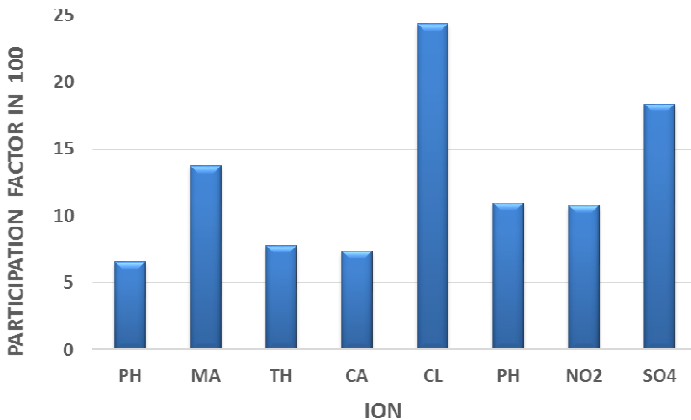
شکل ۷ - وابستگی پارامترها در خوردگی حاصل از آنالیز سطح پاسخ

برای تعیین اثر گذاری پارامترها در خوردگی با لحاظ کردن تمامی پارامترهای فرض شده در روش سطح پاسخ از آزمون  $T$  استفاده گردید. که نتایج آن در جدول ۸ خلاصه شده است.

جدول ۸ - نتایج آماری تأثیر میزان متغیرهای وابسته در میزان خوردگی

W	I.F	P-Value	F-Value	انحراف معیار	میانگین	حداکثر	حداقل	حداصل	شاخصه گروه
۲/۸	۳/۳	۰/۰۱۸۵	۵/۷۱	۱/۱۱	۸/۷	۱۰	۷/۶	۷/۶	PH
۷/۰۵	۶/۹	۰/۰۰۱	۱۱/۴۳	۵/۸۱	۱۲۲/۷	۲۵۷	۱۲	۱۲	MA
۳/۵۵	۳/۹	۰/۰۰۵۱	۸/۱۴	۶/۹۰	۳۵۶/۷	۹۸۰	۲	۲	TH
۴/۱	۳/۷	۰/۰۰۰۷	۱۲/۰۲	۲/۲۴	۲۳۱/۷	۶۶۷	۲	۲	CA
۱۰/۵۵	۱۲/۲	۰/۰۰۰۲	۱۵/۳۹	۲/۶۳	۳۸۳/۷	۹۴۴	۸	۸	CL-
۵/۹	۵/۵	۰/۰۳۲۶	۴/۶۸	۱/۴۶	۹/۷	۵۳	۲/۱	۲/۱	P
	۵/۴	۰/۰۳۲۱	۴/۵۳	۳/۳۲	۳۸۲/۳	۶۶۱	۲/۹	۲/۹	NO <sub>2</sub>
	۹/۲	۰/۰۲۳۶	۴/۶۳	۲/۸۹	۴۲۳/۵	۷۳۰	۱۰	۱۰	SO <sub>4</sub>

نمودار درصد مشارکت یونها که بر اساس ۱۰۰ واحد تنظیم شده است و در ستون آخر جدول ۸ آمده است در شکل ۱۲ نشان داده شده است.



شکل ۸ - توزیع درصد مشارکت یونها در توسعه خرابی

## ۵- بحث و نتیجه گیری

بر اساس اندازه گیری‌های یونها و حجم خرابی ایجاد شده در ۱۷ موقعیت متفاوت در قسمتهای بتنی سازه برج خنک کننده کارخانه فولاد اهواز در طی زمان، هر یک از برداشتها به عنوان یک کمیت آزمایشگاهی در نظر گرفته شد. مقادیر اندازه گیری شده بر اساس آنالیز سطح پاسخ مورد مقایسه دو دوبی با هم قرار گرفتند تا میزان تاثیر آنها در خرابی ایجاد شده مشخص گردد. دی این مقایسه کمیتهای وابسته ای که کمترین خطای نوع اول آنها از  $0/5$  درصد کمتر بود، به عنوان پارامتر تاثیرگذار شناسایی شدند. میزان تاثیرگذاری متغیرهای تاثیرگذار بر اساس تحلیل واریانس تک عامله محاسبه گردیدند.

نتایج تحلیل سطح پاسخ نشان داد که یونهای منیزیم(MA)، سدیم(T.H)، کلسیم(C.A)، کلراید(Cl<sup>-</sup>)، فسفات(P<sup>3-</sup>)، نیترات(NO<sub>3</sub><sup>-</sup>) و سولفات(SO<sub>4</sub><sup>2-</sup>) محلول در آب همگی در میزان خوردگی تاثیر دارند و به عنوان پارامتر تاثیرگذار باید تلقی گردند. در بین یونهای بررسی شده یونهای کلراید و سولفات بیشترین تاثیر در توسعه خرابی را داشته و یون کلسیم و PH کمترین تاثیر را در توسعه خرابی در پی دارند.

## ۶- قدردانی

بدین وسیله از پرسنل محترم آزمایشگاه مجمعع فولاد مبارکه خوزستان و مدیریت آن مجتمع که در تهیه نمونه ها و کلیه مراحل انجام آزمایشها آزمایشگاهی کمال همکاری را داشتند، قدردانی صورت می‌گیرد.

## ۷- مراجع

- [۱] “<https://scholar.google.com/>.” .
- [۲] rose corrosion services, “Treatment and Corrosion Control of Cooling Water.,” United Kingdom, ۲۰۰۵.
- [۳] A. Mostafaeipour, “The effect of water containing sodium sulfate ions on strength of concrete of aquaculture ponds and channels,” *Iran. J. Fish. Sci.*, vol. ۱۴, no. ۲, pp. ۴۶۷–۴۸۴, 2015.
- [۴] J. I. Park, K. M. Lee, S. O. Kwon, S. H. Bae, S. H. Jung, and S. W. Yoo, “Diffusion Decay Coefficient for Chloride Ions of Concrete Containing Mineral Admixtures,” *Adv. Mater. Sci. Eng.*, vol. ۲۰۱۶, ۲۰۱۶.

- [5] A. Maryoto, B. S. Gan, N. I. S. Hermanto, and R. Setijadi, "The Compressive Strength and Resistivity toward Corrosion Attacks by Chloride Ion of Concrete Containing Type i Cement and Calcium Stearate," *Int. J. Corros.*, vol. 2018, 2018.
- [6] American Society for Testing and Materials Annual, "Annual Book of ASTM Standards," *Philadelphia, PA, USA*, vol. Sec., 4, pp. 4-18, 1992.